

## НАПІВПРОВІДНИКОВІ КВАНТОВІ ЯМИ ЗІ СПІН-ОРБІТАЛЬНОЮ ВЗАЄМОДІЄЮ РАШБИ

Досліджено залежність константи спин-орбітальної взаємодії Рашби від параметрів несиметричної квантової ями. Потенціал брався у вигляді деякої гладкої функції, яка залежить від технології виготовлення структури. Проаналізовано вплив спин-орбітальної взаємодії на енергетичний спектр, хвильові функції системи та густину станів. Числові розрахунки проводились для квантових ям типу InAs/GaSb.

The dependence of a Rashba constant of spin-orbit interaction on the parameters of asymmetric quantum well is studied. The potential is taken in the form of a smooth function depending on the technology of manufacturing the structure. The effect of spin-orbit interaction on the energy spectrum, wave functions and the density of states is analyzed. The numerical calculations are performed for the InAs/GaSb quantum well.

### Вступ

Детальне розуміння транспортних властивостей, пов'язаних зі спин-орбітальною (СО) взаємодією у двовимірних системах, важливо як у фундаментальному, так і в прикладному відношенні у зв'язку з появою нового типу спінтронних пристроїв [1, 2]. Одним із перших таких приладів є транзистор Датта і Даса [3], принцип роботи якого базується на прецесії спіну електрона внаслідок СО розщеплення Рашби [4-6]. Останнім часом інтерес до СО взаємодії в низькорозмірних структурах надзвичайно збільшився, оскільки стало зрозуміло, що такі транспортні властивості, як аномальний та спіновий ефекти Холла в магнітних напівпровідниках, вельми чутливі до величини СО розщеплення [7].

Спінове розщеплення Рашби електронів у двовимірному електронному газі в основному пов'язують із наявністю макроскопічного електричного поля в асиметричних квантових ямах. Цей ефект більш виражений у вузькозонних напівпровідникових шарах, таких як InAs або InGaAs.

У більшості випадків у теорії використовують модельний гамільтоніан Рашби з константою СО взаємодії, яка не обчислюється, а береться з експерименту. Це пов'язано з тим, що СО взаємодія в кристалічному тілі дуже суттєво відрізняється від стандартної релятивістської величини для СО взаємодії у вакуумі. Отже, важко обчислити точно цю величину для напівпровідників

із квантовими ямами. Але з іншого боку, можна знайти теоретично, як залежить ефективна константа СО взаємодії від параметрів квантової ями, таких як величина енергетичного бар'єра на інтерфейсі, асиметрія ями, а також номер квантової підзони. Саме така задача ставиться в даній роботі.

Зазначимо, що розрахунки СО розщеплення проводились раніше для напівпровідникового інтерфейсу, причому в модель була включена міжзонна взаємодія [8], що значно ускладнює задачу навіть у найпростішому випадку. В даній роботі ми пов'язуємо залежність ефективної СО взаємодії від параметрів КЯ в рамках простої однозонної моделі з релятивістським доданком стандартного типу.

### Спін-орбітальна взаємодія

Гамільтоніан електронної системи при врахуванні СО взаємодії має вигляд

$$H = \frac{\hbar^2}{2m} \Delta - ig [\nabla V(\vec{r})] (\vec{\sigma} \times \nabla) + V(\vec{r}), \quad (1)$$

де  $m$  – ефективна маса електрона,  $\vec{\sigma} = (\sigma_x, \sigma_y, \sigma_z)$  – спінові матриці Паулі,  $V(\vec{r})$  – потенціал квантової ями,  $g$  – постійна спин-орбітального зв'язку, яка залежить від параметрів кристалічної ґратки і деталей зонної структури.

Розглянемо модель асиметричної квантової ями (КЯ) з прямокутним потенціалом  $V(z)$ , який залежить лише від однієї координати. В такому випадку похідна  $dV/dz$  у рівнянні (1) є невизначеною

ною при  $z=0$  та  $z=L$  ( $L$  – довжина КЯ). Цю складність ми усуваємо апроксимацією  $V(z)$  деякою гладкою функцією

$$V(z) = \frac{U_1}{2} [1 - \text{th}(\beta_1 z)] + \frac{U_2}{2} [1 - \text{th}(\beta_2 (L - z))], \quad (2)$$

де  $\beta_{1,2}$  – постійні, що характеризують перехід, причому  $\beta_1^{-1}, \beta_2^{-1} \ll L$ . У реальній напівпровідниковій системі ці величини залежать від технології виготовлення структури.

Визначимо хвильову функцію системи у вигляді  $\phi_{\vec{k}}(\vec{r}) = e^{i(k_x x + k_y y)} \chi_{\vec{k}}(z)$  ( $\vec{k}$  – момент уздовж КЯ). Для знаходження розв'язків рівняння (1) розкладемо  $\chi_{\vec{k}}(z)$  за деякою повною системою ортонормованих функцій. За таку систему зручно взяти відомі хвильові функції  $\phi_n(z)$  одномірної моделі, гамільтоніан якої

$$H_{1D} = -\frac{\hbar^2}{2m} \frac{d^2}{dz^2} + V(z). \quad (3)$$

Тоді розклад запишеться як

$$\chi_{\vec{k}}(z) = \sum_n \lambda_{n\vec{k}} \phi_n(z). \quad (4)$$

Підставивши (4) у рівняння Шредінгера з гамільтоніаном (1), після виконання розрахунків ми отримуємо систему взаємопов'язаних рівнянь для коефіцієнтів  $\lambda_{n\vec{k}}$

$$\sum_{n'} \left( \frac{\hbar^2 k^2}{2m} + \varepsilon_n - E \right) \delta_{nn'} \lambda_{n'\vec{k}} + \sum_{n'} g(\sigma_x k_y - \sigma_y k_x) w_{nn'} \lambda_{n'\vec{k}} = 0, \quad (5)$$

де

$$w_{nn'} = \int_{-\infty}^{\infty} \phi_n^*(z) \frac{dV}{dz} \phi_{n'}(z) dz. \quad (6)$$

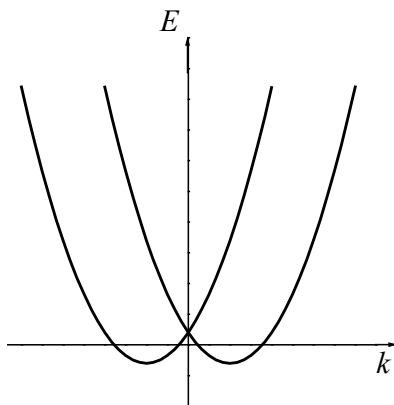


Рис. 1. Схематичне зображення енергетичного спектра

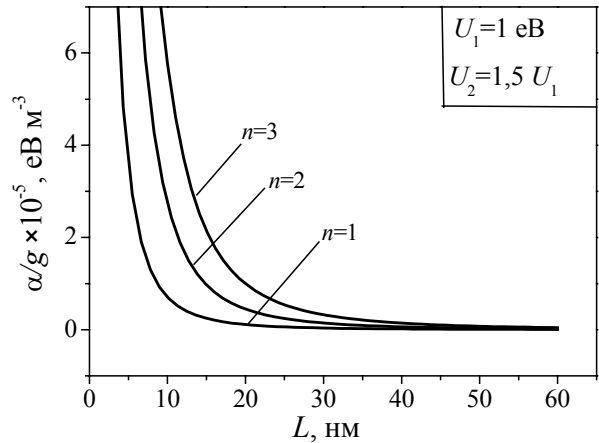


Рис. 2. Залежність величини  $\alpha_n/g$  від ширини квантової ями

Власні значення  $\varepsilon_n$  гамільтоніана  $H_{1D}$  знаходяться числовими методами з такого рівняння [9]:

$$q_n L = \pi n - \arcsin \frac{q_n \hbar}{\sqrt{2mU_1}} - \arcsin \frac{q_n \hbar}{\sqrt{2mU_2}}, \quad (7)$$

де  $q_n = (2m\varepsilon_n)^{1/2} / \hbar$ . Відповідні хвильові функції мають такий вигляд:

$$\phi_n(z) = \left[ 2(L + \kappa_{1n}^{-1} + \kappa_{2n}^{-1}) \right]^{-1/2} \times \begin{cases} e^{\kappa_{1n} z} \sin \delta, & z < 0, \\ \sin(q_n z + \delta), & 0 \leq z \leq \delta, \\ e^{-\kappa_{2n}(z-L)} \sin(q_n L + \delta), & z > L, \end{cases} \quad (8)$$

де  $\text{tg}(\delta) = q_n / \kappa_{1n}$ ,  $\kappa_{1n} = [2m(U_1 - \varepsilon_n)]^{1/2} / \hbar^2$ ,  $\kappa_{2n} = [2m(U_2 - \varepsilon_n)]^{1/2} / \hbar^2$ .

Припустимо тепер, що СО взаємодія незначна, і ми можемо знехтувати СО взаємодією між квантованими рівнями. На практиці це означає, що рівні не лежать близько один біля одного. Тоді, використовуючи вищенаведені формули (5) і (6), ми отримуємо рівняння Шредінгера з гамільтоніаном Рашби

$$\left[ \frac{\hbar^2 k^2}{2m} + \alpha_n (\sigma_x k_y - \sigma_y k_x) + \varepsilon_n - E \right] \lambda_{n\vec{k}} = 0, \quad (9)$$

де  $\alpha_n = g w_{nn'}$  – ефективна постійна СО зв'язку для електронів підзони з номером  $n$  в КЯ. Використовуючи формули (2), (6) та (8), знаходимо

$$\alpha_n = \frac{g q_n^2 \left( (3U_2 - 2\varepsilon_n) \beta_2^{-2} - (3U_1 - 2\varepsilon_n) \beta_1^{-2} \right)}{128(L + \kappa_{1n}^{-1} + \kappa_{2n}^{-1})}. \quad (10)$$

На рис. 2 наведено залежність величини  $\alpha_n/g$  від ширини КЯ для різних квантованих рівнів.

Для числових розрахунків використано параметри КЯ InAs/GaSb. Ефективна маса InAs приймалася такою, що дорівнює  $0,04 m_0$ , а висота нижчої стінки ями – 1 еВ.

Енергетичний спектр нашої системи можна знайти з рівняння (9)

$$E_{n1,2}(k) = \varepsilon_n + \frac{\hbar^2 k^2}{2m} \mp \alpha_n k, \quad (11)$$

де індекси "1, 2" відповідають СО розщепленим зонам (рис. 1). Відповідні хвильові функції будуть спінорами і їх можливо також знайти з рівняння (9) у такому вигляді:

$$\lambda_{nk}^{(1)} = \frac{1}{\sqrt{2}} \begin{pmatrix} 1 \\ ik_+ / k \end{pmatrix}, \quad (12)$$

$$\lambda_{nk}^{(2)} = \frac{1}{\sqrt{2}} \begin{pmatrix} ik_- / k \\ 1 \end{pmatrix}, \quad (13)$$

де  $k_{\pm} = k_x \pm ik_y$ .

Зазначимо, що хвильові функції (12) і (13) є спінорами з ненульовими компонентами, навіть якщо СО взаємодія прямує до нуля. Іншими словами, власні функції є завжди суперпозицією станів зі спіном вздовж та проти осі квантування, яку ми вибрали перпендикулярно до площини КЯ. Це пов'язано з виродженням у точці  $k=0$  (див. рис. 1).

### Густина станів

Важливою величиною, яку треба знати на практиці, є густина електронних станів, яка визначається співвідношенням

$$v(\varepsilon) = \sum_{ni} \int \delta[\varepsilon - E_{ni}(k)] \frac{d^2 \vec{k}}{(2\pi)^2}, \quad (14)$$

де  $i=1, 2$ . Згідно з (14), густину станів можна записати як суму парціальних внесків від кожної підзони. Тобто

$$v(\varepsilon) = \sum_{ni} v_{ni}(\varepsilon). \quad (15)$$

У нашому випадку, провівши розрахунки, ми знаходимо

$$v_{n1,2}(\varepsilon) = \frac{m}{2\pi\hbar^2} \left( 1 \pm \frac{m\alpha_n}{\sqrt{m^2\alpha_n^2 - 2m\hbar^2(\varepsilon_n - \varepsilon)}} \right), \quad (16)$$

коли  $\varepsilon > \varepsilon_n$  та

$$v_{n1}(\varepsilon) = \frac{m^2\alpha_n}{\pi\hbar^2 \sqrt{m^2\alpha_n^2 - 2m\hbar^2(\varepsilon_n - \varepsilon)}}, \quad (17)$$

$$v_{n2}(\varepsilon) = 0,$$

коли  $\varepsilon_n - m\alpha_n^2 / 2\hbar^2 < \varepsilon < \varepsilon_n$ .

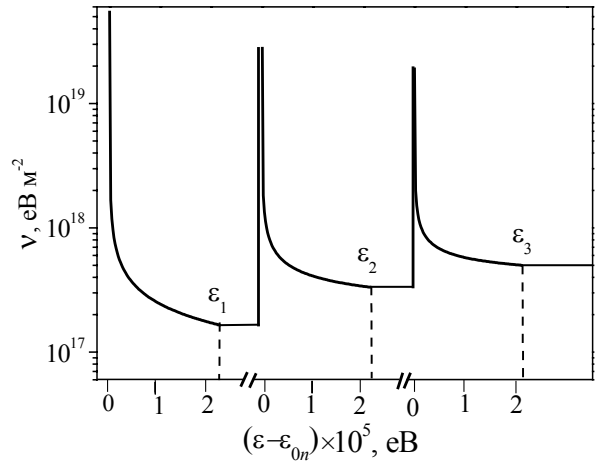


Рис. 3. Залежність густини станів від енергії ( $\varepsilon_1 \sim 0,02$  еВ,  $\varepsilon_2 \sim 0,08$  еВ,  $\varepsilon_3 \sim 0,18$  еВ)

На рис. 3 наведено залежність даної величини від енергії. При розрахунках приймалось, що для InAs/GaSb КЯ  $\alpha_n = 0,9 \cdot 10^{-11}$  еВ·м [6]. Для зручності зображення результатів відлік енергії для кожного рівня починався від величини  $\varepsilon_0 = \varepsilon_n - m\alpha_n / 2\hbar^2$ . Як бачимо, діапазон різкого зменшення густини станів складає лише соті меВ. У реальних гетероструктурах величина  $\alpha_n$  може зростати при прикладанні напруги до переходу, а відповідно збільшується і даний діапазон. Так, якщо взяти  $\alpha_n = 10^{-10}$  еВ·м, то величина  $\varepsilon - \varepsilon_0$  стає 2,61 меВ.

Різкі піки на залежності густини станів від енергії пов'язані з існуванням цілої лінії енергетичних мінімумів в оберненому просторі.

### Висновки

Проведено дослідження впливу СО взаємодії на параметри несиметричних КЯ. Знайдена постійна СО взаємодії  $\alpha_n$  у випадку, коли потенціал КЯ можна апроксимувати гладкою функцією, яка задається формулою (2). З рис. 2 видно, що  $\alpha_n$  зростає зі збільшенням квантового номера підзони і стає більшою у вузьких КЯ.

Врахування СО взаємодії призводить до зміни енергетичного спектра в напівпровідниках. Кожна зона розщеплюється на дві з різними напрямками спіну (формула (11), рис. 1) і різними хвильовими функціями (формули (12) і (13)).

Залежність густини станів від енергії також змінюється під впливом СО взаємодії. Замість звичайного сходинкоподібного вигляду, притаманного двовимірним системам, на графіку з'являються проміжки, в яких густина станів стрімко зростає до деякого значення, а потім різко спадає

(рис. 3). Ці області розташовані на шкалі енергій на початку кожного нового енергетичного рівня. Розрахунки, проведені для КЯ InAs/GaSb із затравочною релятивістською константою, показують, що діапазони таких стрибків досить малі (соті меВ) і сильно залежать від  $\alpha_n$ . Ця величина насправді є дещо більшою [6, 8] (десяти меВ), що відповідає посиленню ефективної константи SO зв'язку  $g$  приблизно в 10 разів.

#### СПИСОК ЛІТЕРАТУРИ

1. Gregg J.F., Petej I., Jouguelet E., Dennis C. Spin electronics – a review // J. Phys. D: Appl. Phys. – 2002. – **35**, No.18. – P. R121-R155.
2. Zutic I., Fabian J., Das Sarma S. Spintronics: fundamentals and applications // Rev. Mod. Phys. – 2004. – **76**, No.2. – P.323-410.
3. Datta S., Das B. Electronic analog of the electro-optic modulator // Appl. Phys. Lett. – 1990. – **56**, No.7. – P.665-667.
4. Bychkov Y.A., Rashba E.I. Oscillatory effects and the magnetic susceptibility of carriers in inversion layers. J. Phys. C. – 1984. – **17**, No.33. – P.6039-6045.
5. Rashba E.I., Sherman E.Ya. Spin-orbital band splitting in symmetric quantum wells // Phys. Lett. A – 1988. – **129**, No.3. – P.175-179.
6. Nitta J., Akazaki T., Takayanagi H. Gate control of spin-orbit interaction in an inverted heterostructure // Phys. Rev. Lett. – 1997. – **78**, No.7. – P.1335-1338.
7. Dugaev V.K., Bruno P. et al. Anomalous hall effect in a two-dimensional electron gas with spin-orbital interaction // Phys. Rev. B. – 2005. – **71**, No.22. – P. 224423.
8. Pfeffer P, Zawadzki W. Spin splitting of conduction subbands in GaAs-Ga<sub>0,7</sub>Al<sub>0,3</sub>As heterostructures // Phys. Rev. B – 1995. – **52**, No.20. – P. R14332-R14335.
9. Ландау Л.Д., Лифшиц Е.М. Квантовая механика. Нерелятивистская теория. – М.: Наука, 1974.